

## 作业三 AVR 控制仿真

电 02 肖锦松 2020010563

a. 不含 AVR 的开环系统（以励磁电压  $V_f$  为输入，机端电压  $V_t$  为输出）

1. 稳定性分析：基于作业二的传递函数，通过 MATLAB 编程实现 Routh 表，通过 Routh 表分析系统稳定性，因为本次作业特征方程阶数不高，也可以直接分析特征根，并与作业二任务 3 结果进行对比。

虽然本次作业的传递函数较为简单，特征方程仅为 4 阶，但我仍然实现了任意阶系统的 Routh table 求解，并且进行系统稳定性的判断，在最后还给出系统特征方程的特征根，将两种办法结合判断。其中求解 Routh 表比较麻烦的部分在于两种特例的处理，即 Routh 表第一列出现零元素以及 Routh 表某一行全为零。

具体函数为 `Routh_table.m`

传递函数输出如下：

```
~~~~~> transfer function <~~~~~

sys =

      0.07552 s^2 + 0.00151 s + 0.009872
      -----
      s^3 + 0.572 s^2 + 0.1879 s + 0.04846

Continuous-time transfer function.
```

Routh 表输出以及稳定性判断如下：

```
~~~~~> Routh Table: <~~~~~

Routhtable =

      1.000000000000000      0.187900000000000
      0.572000000000000      0.048460000000000
      0.103179720279720      0
      0.048460000000000      0

~~~~~> it is a stable system. <~~~~~
```

Routh 表的第一列各项元素均为正，因此系统是稳定的。

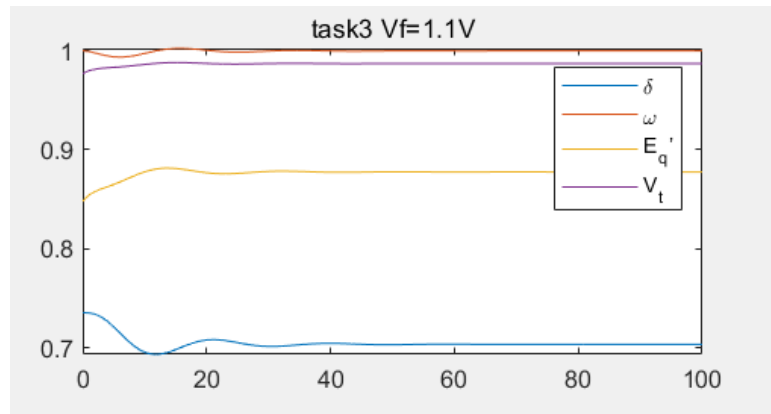
系统特征方程的特征根如下：

```
~~~~~> Number of right hand side poles = 0 <~~~~~
~~~~~> Roots of the system characteristic equation <~~~~~
sysRoots =

-0.403854551490932 + 0.000000000000000i
-0.084072724254534 + 0.336043854792123i
-0.084072724254534 - 0.336043854792123i
```

可以看出系统特征方程的根都在左半平面，因此系统是稳定的。

通过两种方法都可以判断出作业二的系统是稳定的。作业二任务 3 的结果如下：



可以看出系统的 3 个状态量以及最终输出量均稳定，因此系统必然也是稳定的。

至此，可以通过三种方法判断系统是否稳定：

1. 利用系统稳定的定义，测量系统各状态变量和输出量是否稳定，本例应满足 Lyapunov 稳定。
2. 列出 Routh 表，系统稳定的充要条件是 Routh 表中第一列各项元素均为正。
3. 求解系统特征方程，线性定常系统渐进稳定的充要条件是特征根全都具有负实部，或者全部位于 S 平面的左半开平面。

2. 稳态性能分析：基于作业二的传递函数，判断系统的积分结构，分析在原有励磁电压基础上，不同幅值励磁阶跃输入（在原有励磁上加阶跃，从  $V_f$  变为  $V_f + \Delta V_f$ 。不必仿真太多组不同的幅值。）对机端电压  $V_t$  的影响，利用作业二中线性与非线性模型验证结果。

利用作业二的传递函数，判断系统的积分结构。

```
~~~~~> transfer function <~~~~~

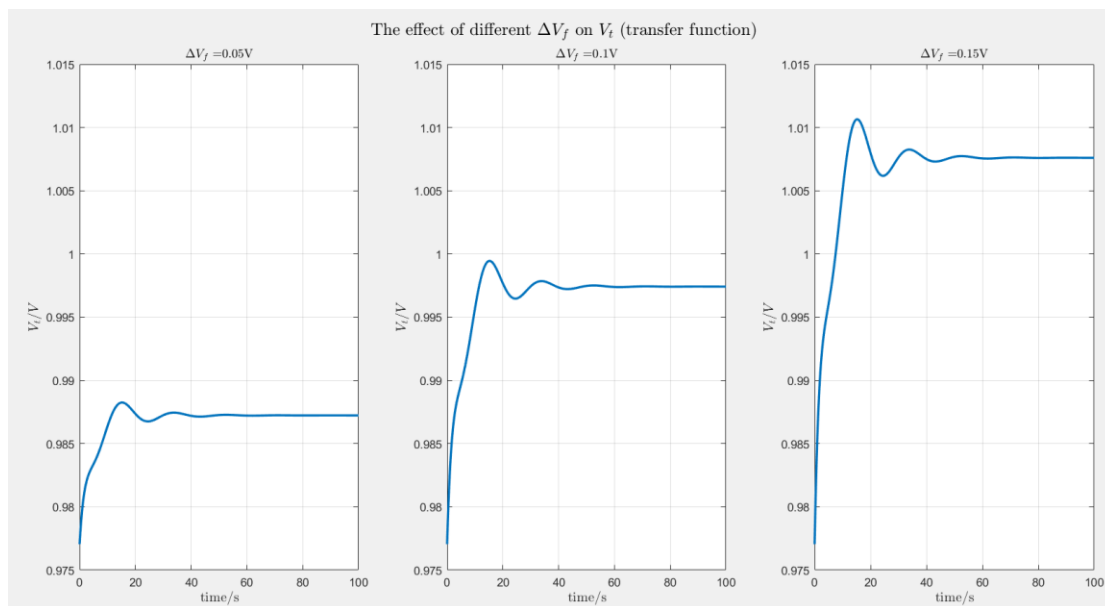
sys =

      0.07552 s^2 + 0.00151 s + 0.009872
      -----
      s^3 + 0.572 s^2 + 0.1879 s + 0.04846

Continuous-time transfer function.
```

从该传递函数可以看出，该系统积分环节  $r = 0$ 。因此该系统为 0 型系统，调节必然是有差调节，存在稳态偏差。

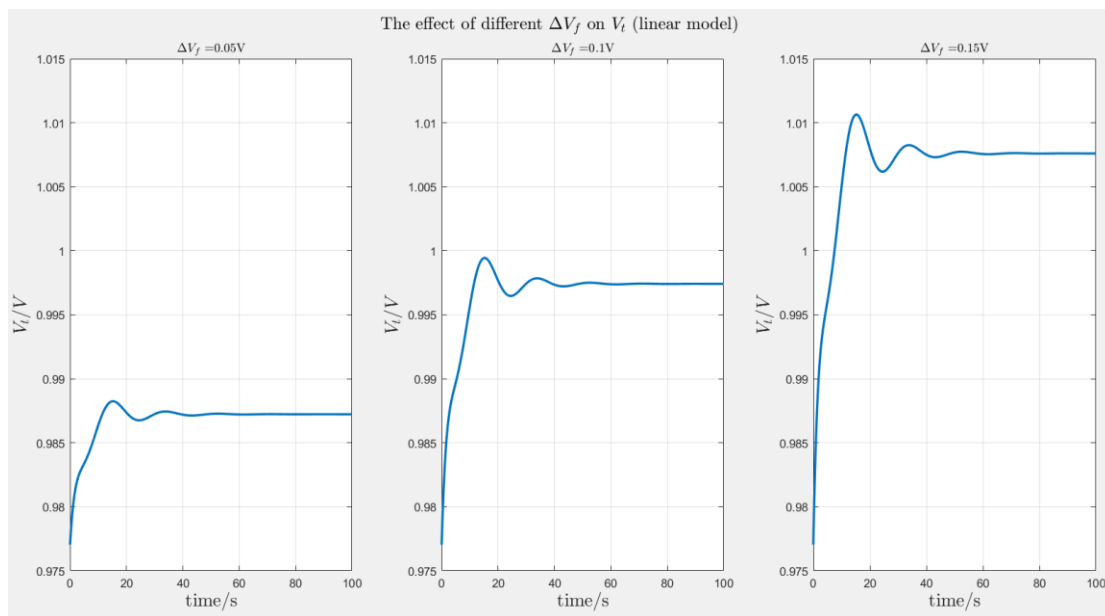
利用传递函数的方法，分别仿真了三组不同幅值励磁阶跃输入，分别是  $\Delta V_f = 0.05, 0.10, 0.15 V$ 。



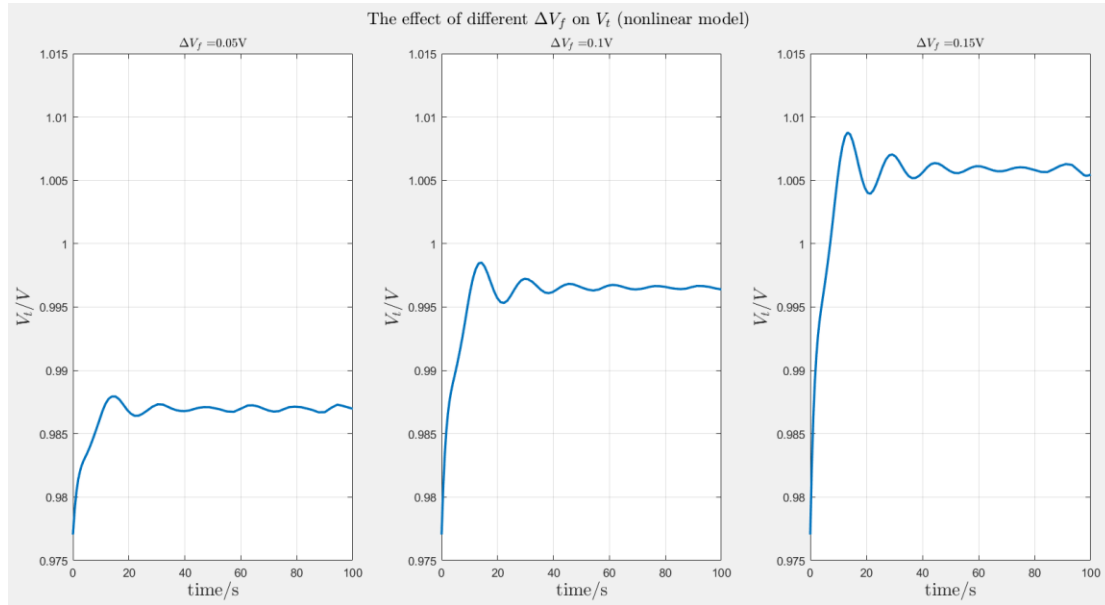
这里只将  $V_t$  画出来我才发现更加具体的图像及振动过程，助教在综合作业二批改提到“不同状态量可放入不同子图，否则由于量级差异部分量的动态过程可能无法清晰展现”，我现在才体会到。原先我把状态量和输出量全部画在一种图上， $V_t$  曲线近似为一条平稳直线，起伏极小，根本看不出这个振动过程。

以下利用作业二中线性与非线性模型验证结果。

首先，利用线性模型验证，按照原理，线性模型的仿真结果应该与传递函数方法的仿真结果相同，实际上跑出来也是如此。



接着，利用非线性模型验证，按照作业二中总结的“规律”，非线性模型的仿真结果从图像上来看应该比传递函数方法更加“不平稳”，实际上跑出来也是如此。



规律：随着励磁阶跃输入 $\Delta V_f$ 的增大，输出量 $V_t$ 的“超调量”和稳定值变大，稳定时间变长。线性系统的稳定时间总体比非线性系统的稳定时间要长。

### 3. 动态性能分析：基于作业二线性与非线性模型的仿真结果，分别计算超调量、阻尼比和调整时间。

动态性能分析，计算超调量、阻尼比和调整时间。

具体函数为：`dynamic_performance.m`

超调量 $\sigma\%$ ：直接计算时间范围内  $V_t$  的最大值  $y(t_p)$ ，选择时间范围终端的  $V_t$  作为稳定值  $y(\infty)$ 。然后利用公式计算超调量 $\sigma\%$ 。

$$\sigma\% = \frac{y(t_p) - y(\infty)}{y(\infty)} \times 100\%$$

阻尼比 $\zeta$ ：利用峰值时间 $t_p = \frac{\pi}{\omega_n \sqrt{1-\zeta^2}}$ ，可以得到超调量公式

$$\sigma\% = e^{-\frac{\zeta\pi}{\sqrt{1-\zeta^2}}} \times 100\%$$

$$\ln \sigma = -\frac{\zeta\pi}{\sqrt{1-\zeta^2}}$$

$$\ln^2 \sigma = \frac{\zeta^2 \pi^2}{1-\zeta^2}$$

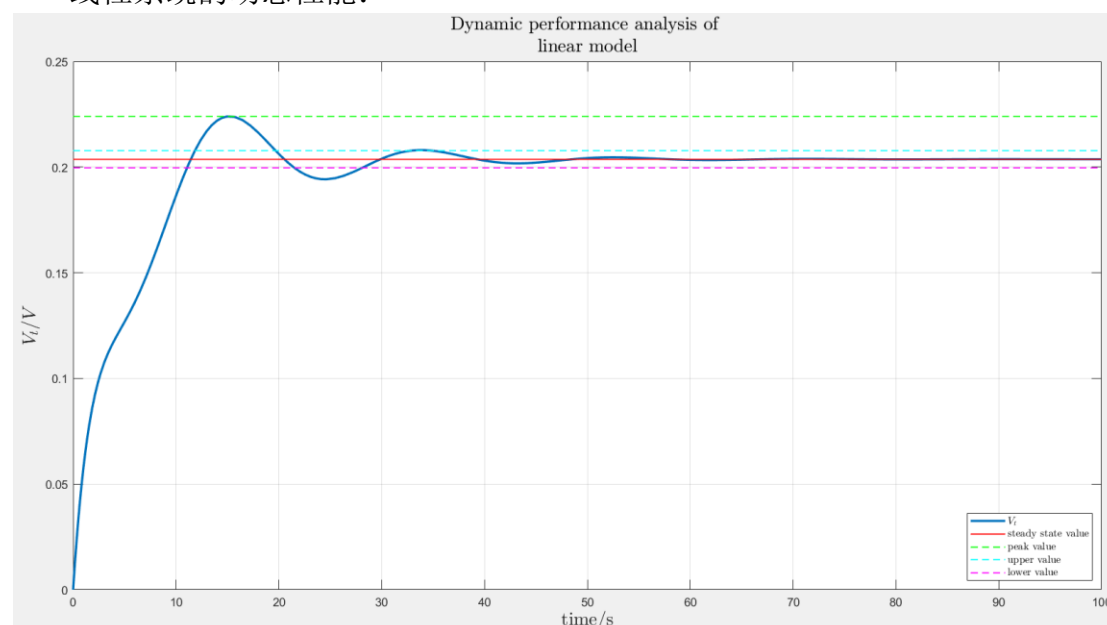
$$\zeta^2 \pi^2 = \ln^2 \sigma (1-\zeta^2) = \ln^2 \sigma - \zeta^2 \ln^2 \sigma$$

$$\zeta^2 = \frac{\ln^2 \sigma}{\pi^2 + \ln^2 \sigma}$$

$$\zeta = \sqrt{\frac{\ln^2 \sigma}{\pi^2 + \ln^2 \sigma}}$$

调整时间 $t_s$ : 利用调整时间的定义, 先找出稳定值, 然后确定 $\pm 2\%$ 的上下界, 利用循环寻找某个时间进入上下界内, 再该时间过后输出量不会超出上下界, 那么这个时间即是调整时间 $t_s$ 。

线性系统的动态性能:

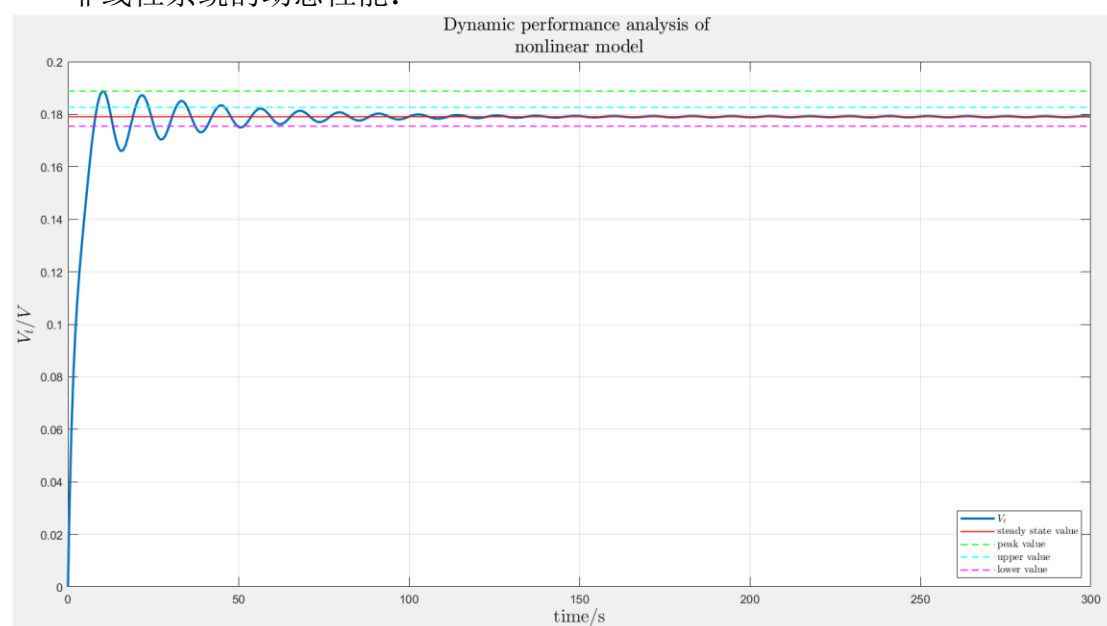


<stopping criteria details>

```
~~~~~> The overshoot of linear model is 9.943232 percent. <~~~~~
~~~~~> The damping factor of linear model is 0.592105. <~~~~~
~~~~~> The stable time of linear model is 34.800000. <~~~~~
```

超调量 $\sigma\% = 9.94332\%$ , 阻尼比 $\zeta = 0.592105$ , 调整时间 $t_s = 34.8s$

非线性系统的动态性能:



## &lt;stopping criteria details&gt;

~~~~~&gt; The overshoot of nonlinear model is 5.448295 percent. &lt;~~~~~

~~~~~&gt; The damping factor of nonlinear model is 0.679532. &lt;~~~~~

~~~~~&gt; The stable time of nonlinear model is 51.400000. &lt;~~~~~

超调量 $\sigma\% = 5.448295\%$ , 阻尼比 $\zeta = 0.679532$ , 调整时间 $t_s = 51.4s$ 

从线性系统和非线性系统的动态性能可以发现一些规律:

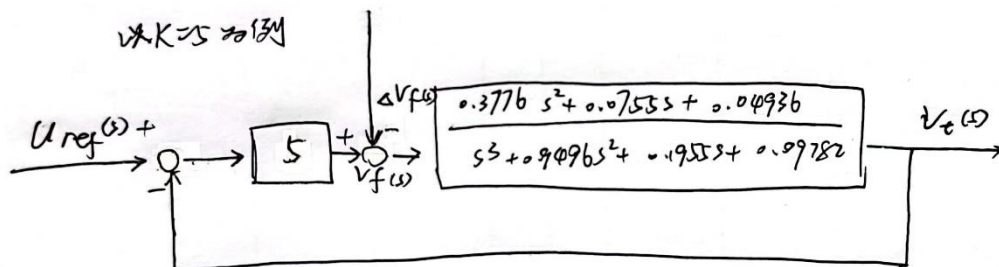
线性系统相较于非线性系统, 阻尼比 $\zeta$ 更小, 超调量 $\sigma\%$ 更大, 调整时间 $t_s$ 更短。阻尼系数 $\zeta$ 和超调量 $\sigma\%$ 大致是成负相关的(并不严谨, 因为系统不同)

## b. 含 AVR 的闭环系统

1. 闭环系统建模: 结构如参考资料 b.1 所示, 在原开环系统下, 增加单位负反馈比例控制( $K$ ), 建立快速励磁 AVR 模型, 以 $u_{ref}$  为输入(为了维持系统的稳态运行点,  $u_{ref}$  需要具备一个基值), 机端电压 $V_t$  为输出, 绘制状态框图, 计算传递函数, 构建非线性仿真模型。

基于线性系统建立快速励磁 AVR 模型比较容易, 将原先的发电机系统 `sys_generator` 和比例控制系统 `sys_gain` 串联(可以利用函数 `series`), 形成系统 `sys_gain_generator`。然后再利用函数 `feedback` 增加单位负反馈, 形成系统 `sys_gain_generator_feedback`。

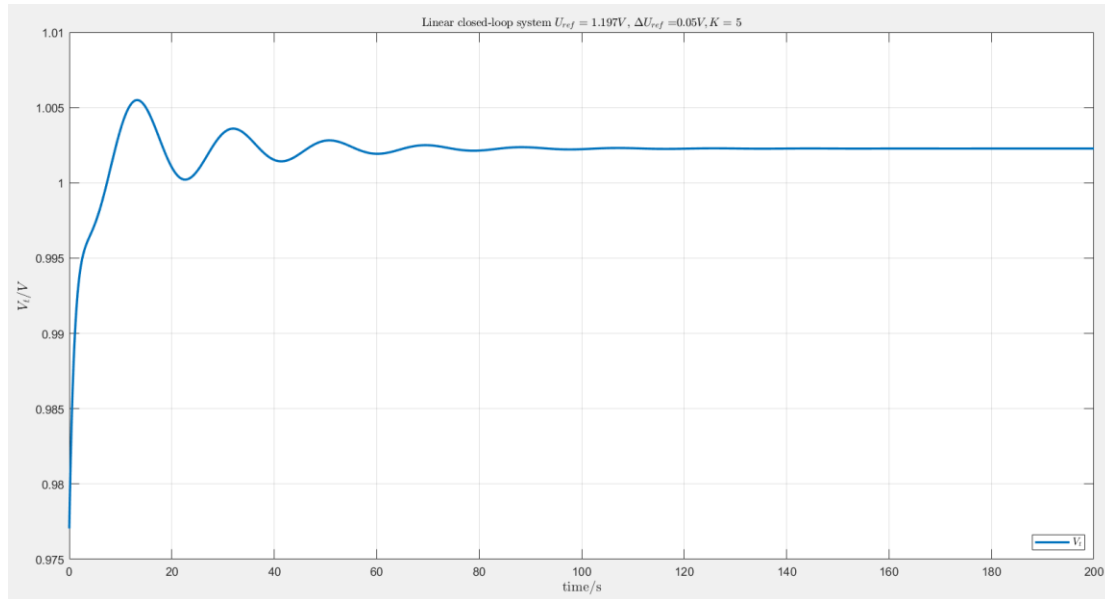
以 $K = 5$ 为例, 状态框图如下:



闭环系统的传递函数如下:

$$\begin{aligned} \text{sys\_gain\_generator\_feedback} = & \\ & \frac{0.3776 s^2 + 0.00755 s + 0.04936}{s^3 + 0.9496 s^2 + 0.1955 s + 0.09782} \end{aligned}$$

设置 $K = 5$ ,  $U_{ref} = 1.197046706663581V$ ,  $\Delta U_{ref} = 0.05V$ , 系统响应如下。



基于非线性系统建立快速励磁 AVR 模型比较复杂, 加入反馈影响的是原先发电机非线性系统的“输入端”, 因此需要从状态方程入手!

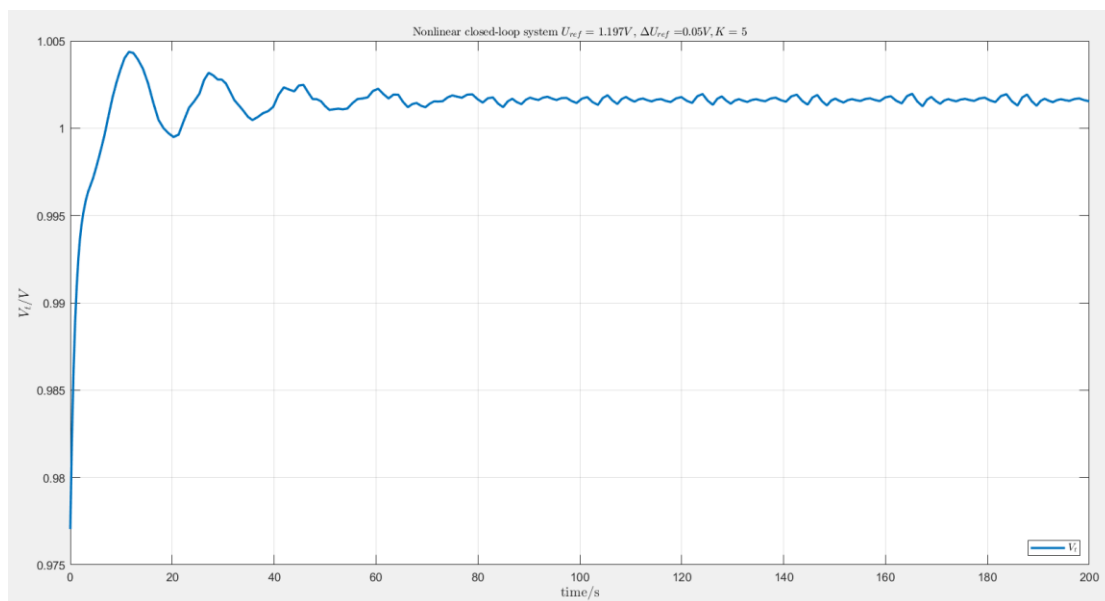
同步发电机三阶状态方程:

$$\begin{aligned}\dot{\delta} &= \omega - \omega_0 \\ \dot{\omega} &= \frac{\omega_0}{2H} P_m - \frac{D}{2H} (\omega - \omega_0) - \frac{\omega_0}{2H} \frac{E'_q V_s}{x_{d\Sigma}'} \sin\delta \\ E'_q &= -\frac{1}{T_d'} E'_q + \frac{1}{T_{d0}'} \frac{x_d - x_d'}{x_{d\Sigma}'} V_s \cos\delta + \frac{1}{T_{d0}'} V_f\end{aligned}$$

利用  $V_f = K(U_{ref} + \Delta U_{ref} - V_t)$ , 以及  $V_t = f(\delta, E'_q)$ , 改写第三个状态方程。

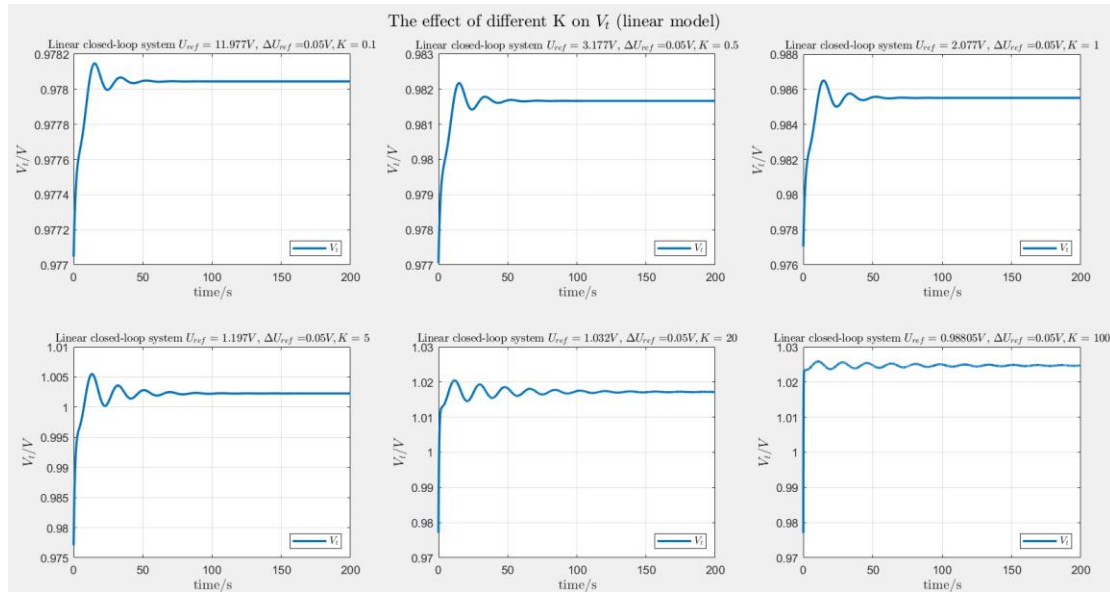
具体代码为: `gen_nonlinear_closedloop.m`。

设置  $K = 5$ ,  $U_{ref} = 1.197046706663581V$ ,  $\Delta U_{ref} = 0.05V$ , 系统响应如下。



2. 稳定性分析：利用 Routh 表分析系统在不同比例增益 $K$ 下，系统的稳定性，并基于非线性模型进行验证，与开环系统进行对比。

验证 $K$ 依次为 0.1、0.5、1、5、20、100 时，线性模型闭环系统的稳定性。先看波形图，从小到大 6 个比例增益 $K$ 对应的输出 $V_t$ 均能稳定下来。



进一步利用 Routh 表判断，确认了这 6 个比例增益 $K$  下，系统均为稳定。  
Routh\_table.m 很好地将各种信息输出到命令行区，查看确定稳定性。

```
~~~~~> K=0.100000, U_ref=11.977047, dU_ref=0.050000 <~~~~~> K=0.500000, U_ref=3.177047, dU_ref=0.050000 <~~~~~>
~~~~~> Routh Table: <~~~~~> Routh Table: <~~~~~>

Routhtable =
    1.000000000000000    0.188051000000000
    0.579552000000000    0.049447200000000
    0.102731304787146      0
    0.049447200000000      0

~~~~~> it is a stable system. <~~~~~>
~~~~~> Number of right hand side poles = 0 <~~~~~>
~~~~~> Roots of the system characteristic equation <~~~~~>
sysRoots =
    -0.413860699430371 + 0.000000000000000i
    -0.082845650284815 + 0.335580810961550i
    -0.082845650284815 - 0.335580810961550i

~~~~~> K=1.000000, U_ref=2.077047, dU_ref=0.050000 <~~~~~>
~~~~~> Routh Table: <~~~~~>

Routhtable =
    1.000000000000000    0.189410000000000
    0.647520000000000    0.058332000000000
    0.099324751667902      0
    0.058332000000000      0

~~~~~> it is a stable system. <~~~~~>
~~~~~> Number of right hand side poles = 0 <~~~~~>
~~~~~> Roots of the system characteristic equation <~~~~~>
sysRoots =
    -0.501728215124937 + 0.000000000000000i
    -0.072895892437532 + 0.333089082469677i
    -0.072895892437532 - 0.333089082469677i

~~~~~> K=5.000000, U_ref=1.197047, dU_ref=0.050000 <~~~~~>
~~~~~> Routh Table: <~~~~~>

Routhtable =
    1.000000000000000    0.195450000000000
    0.949600000000000    0.097820000000000
    0.092438205560236      0
    0.097820000000000      0

~~~~~> it is a stable system. <~~~~~>
~~~~~> Number of right hand side poles = 0 <~~~~~>
~~~~~> Roots of the system characteristic equation <~~~~~>
sysRoots =
    -0.854823677743353 + 0.000000000000000i
    -0.047388161128324 + 0.334943753233972i
    -0.047388161128324 - 0.334943753233972i
```



```

~~~~~> K=20.000000, U_ref=1.032047, dU_ref=0.050000 <~~~~~> ~~~~~> K=100.000000, U_ref=0.988047, dU_ref=0.050000 <~~~~~>
~~~~~> Routh Table: <~~~~~> ~~~~~> Routh Table: <~~~~~>

Routhtable =
    1.0000000000000000    0.2181000000000000
    2.0824000000000000    0.2459000000000000
    0.100015097963888    0
    0.2459000000000000    0

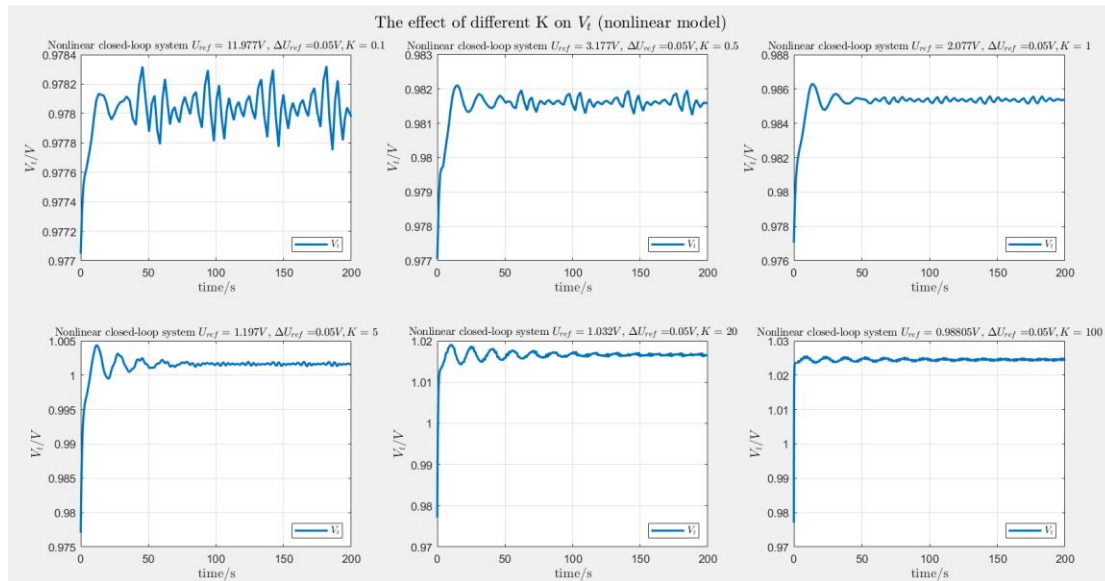
~~~~~> it is a stable system. <~~~~~>
~~~~~> Number of right hand side poles = 0 <~~~~~>
~~~~~> Roots of the system characteristic equation <~~~~~>
sysRoots =
-2.034606361489403 + 0.0000000000000000i
-0.023896819255297 + 0.3468251736496331i
-0.023896819255297 - 0.3468251736496331i

Routhtable =
    1.0000000000000000    0.3389000000000000
    8.1240000000000001    1.0356600000000000
    0.211418463810931    0
    1.0356600000000000    0

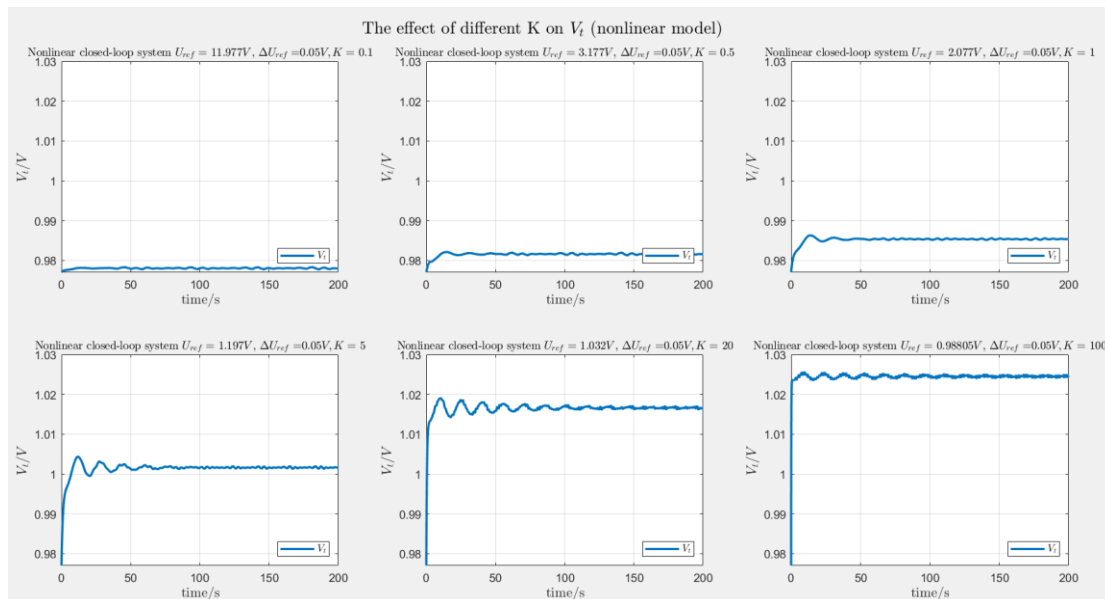
~~~~~> it is a stable system. <~~~~~>
~~~~~> Number of right hand side poles = 0 <~~~~~>
~~~~~> Roots of the system characteristic equation <~~~~~>
sysRoots =
-8.097942979993752 + 0.0000000000000000i
-0.013028510003121 + 0.3573821423742211i
-0.013028510003121 - 0.3573821423742211i

```

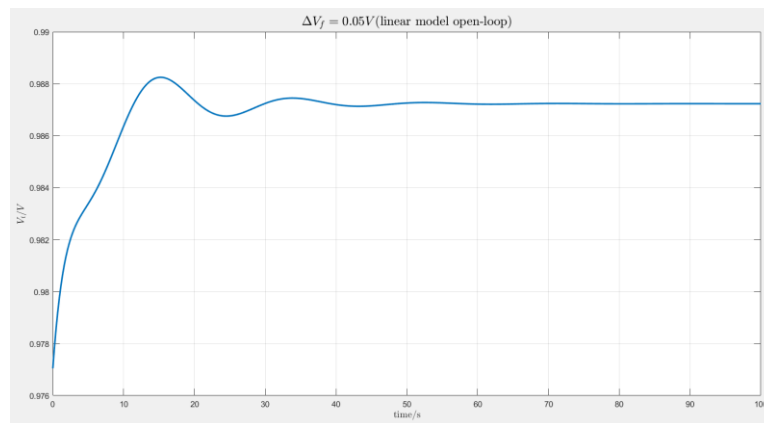
验证 $K$ 依次为 0.1、0.5、1、5、20、100 时，非线性模型闭环系统的稳定性。



先看波形图，似乎从小到大 6 个比例增益 $K$ 对应的输出 $V_t$ 越来越趋于稳定？但其实  $K=0.1$  时波动不过  $0.0005V$  左右，随着  $K$  的增加，最终波动却越来越大，到  $K=100$  时波动大约在  $0.001V$  左右。但总体来说这点波动可以忽略，均可视为稳定。设置  $y$  轴上下限相同能够更好地看出波动大小随  $K$  的变化趋势。



## 线性开环系统



线性开环系统的响应曲线基本和闭环系统的 $K = 1$ 时的阶跃响应较为相似，整体来说，闭环系统的响应曲线随着比例增益 $K$ 的增加，“超调量”增加，稳定时间增加， $U_{ref}$ 基值减小，最终稳定值上升。稳定时非线性闭环系统的波动增大。

相对于开环系统，闭环系统增益选择不当时会引起系统的稳定性降低。

3. 稳态性能分析：根据终值定理计算稳态误差，分析 $u_{ref}$ 在维持稳态所需基值的基础上发生不同幅值阶跃对机端电压 $V_t$ 的影响，并基于非线性模型进行验证，与开环系统进行对比。

利用终值定理计算出单位阶跃的稳态误差：

$$e_{ss} = 0.495399713759967$$

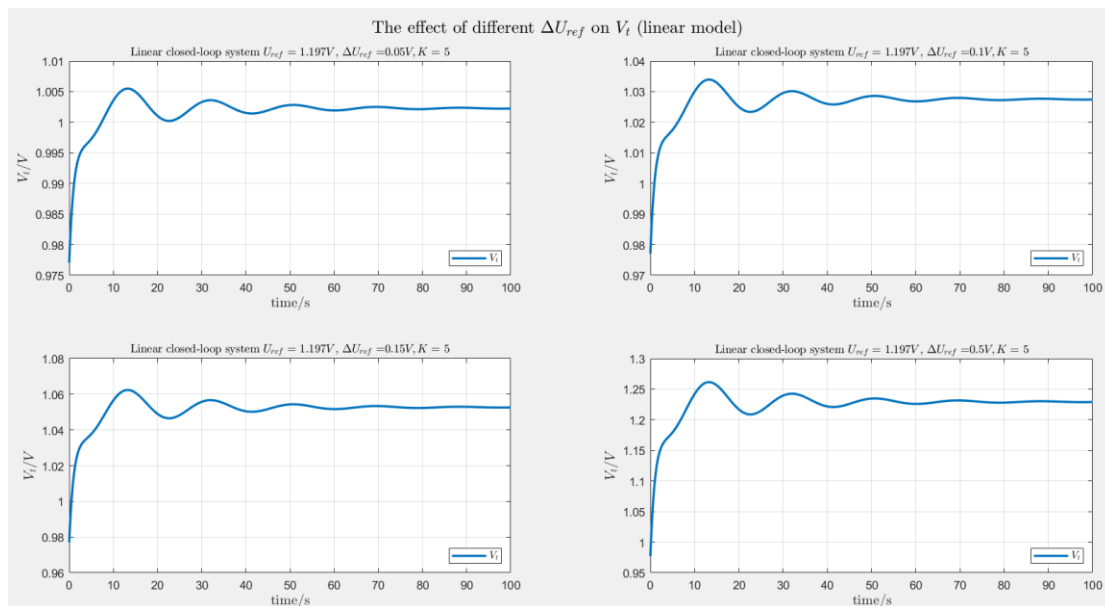
error\_steady\_state =

0.495399713759967

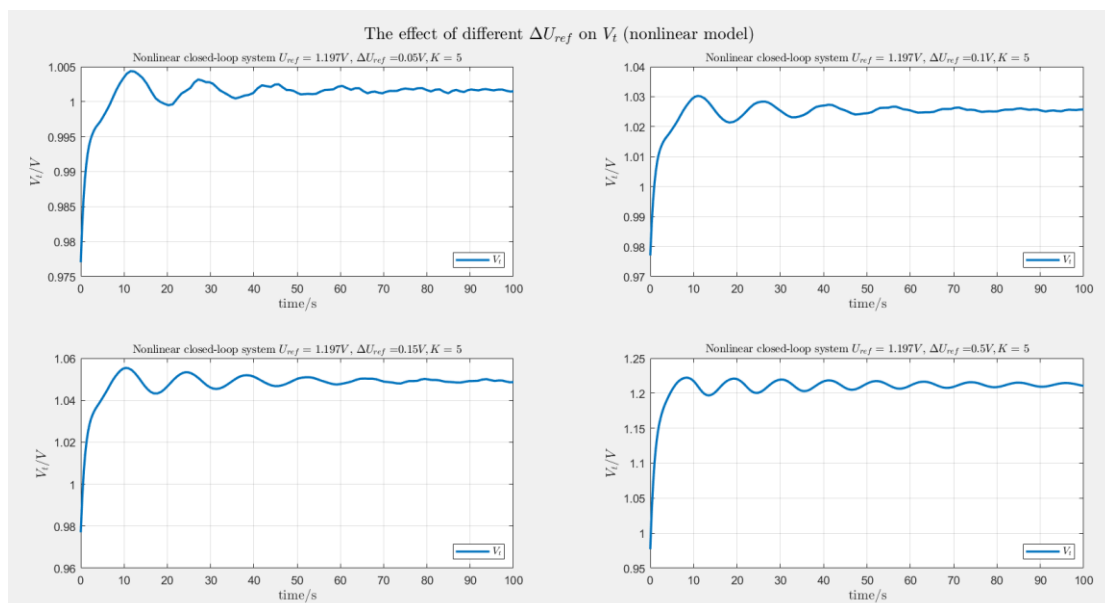
$u_{ref} = 1.197V$ 不变，改变阶跃输入 $\Delta u_{ref}$ 分别为0.05, 0.10, 0.15, 0.5V。

稳态误差分别为：0.02477、0.04954、0.07431、0.2477。稳态误差的大小和阶跃输入 $\Delta u_{ref}$ 的大小是成正比的。

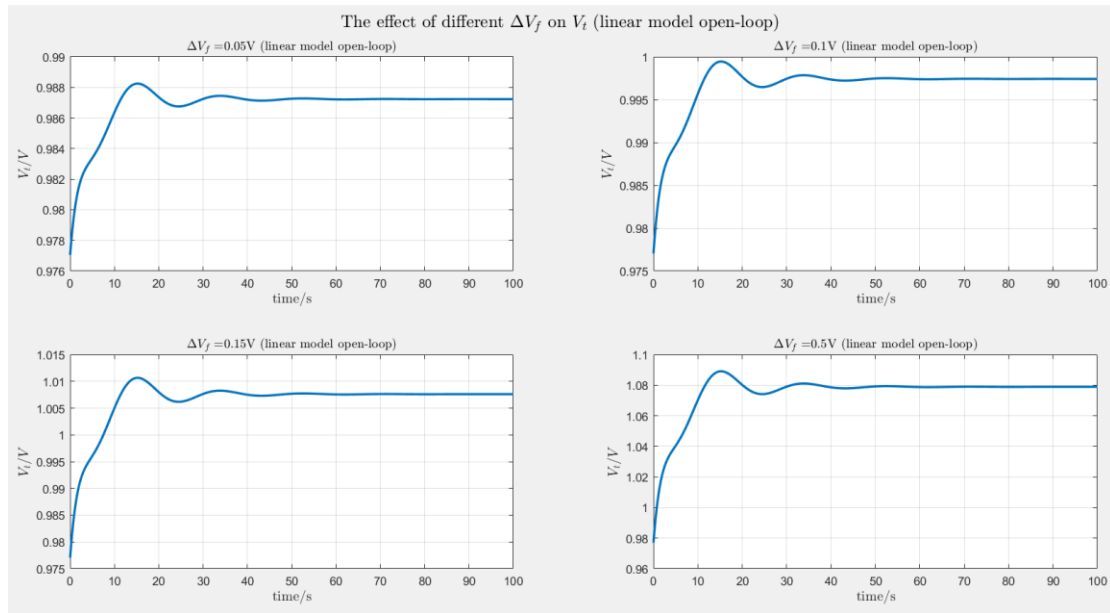
线性系统的机端电压 $V_t$ 如下：



非线性系统的机端电压 $V_t$  如下:



线性开环系统的机端电压 $V_t$  如下:



在闭环系统内改变 $\Delta u_{ref}$ ，开环系统内改变 $\Delta V_f$ 。随着阶跃输入幅值的增大，机端电压 $V_t$ “超调量”变大，初始波动增大，稳定所需时间变长。

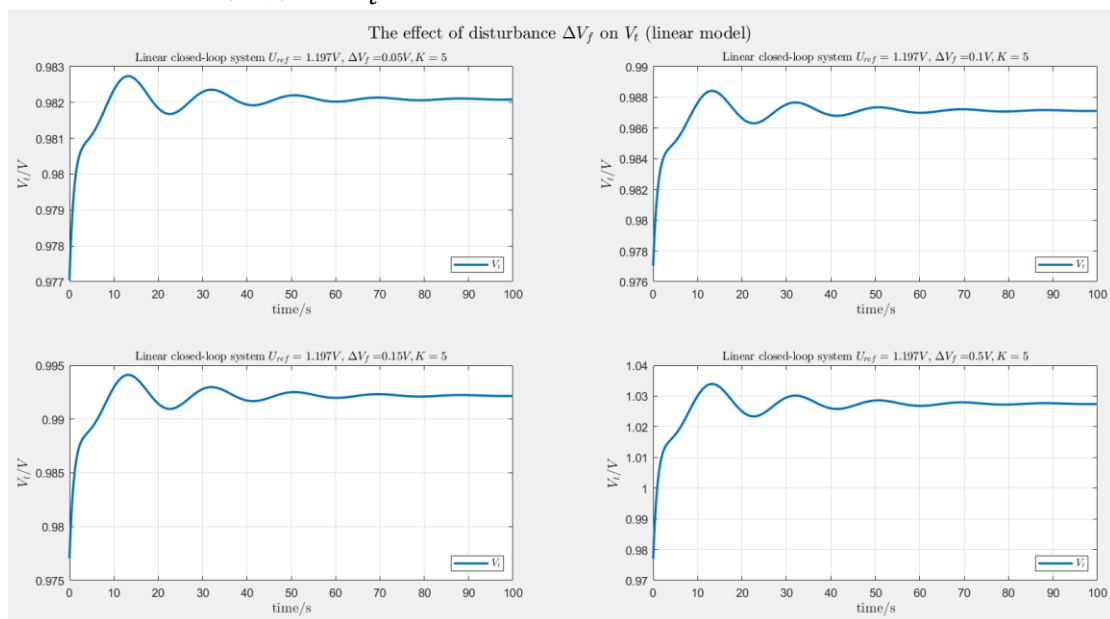
在线性系统中， $\Delta u_{ref}$ 的不同对 $V_t$  到达峰值所需的时间影响不大，然而对于非线性系统，随着 $\Delta u_{ref}$ 的增大， $V_t$  到达峰值所需的时间逐渐变小。

闭环系统相对于开环系统，稳定性能下降，初始波动更大，调整时间更长。

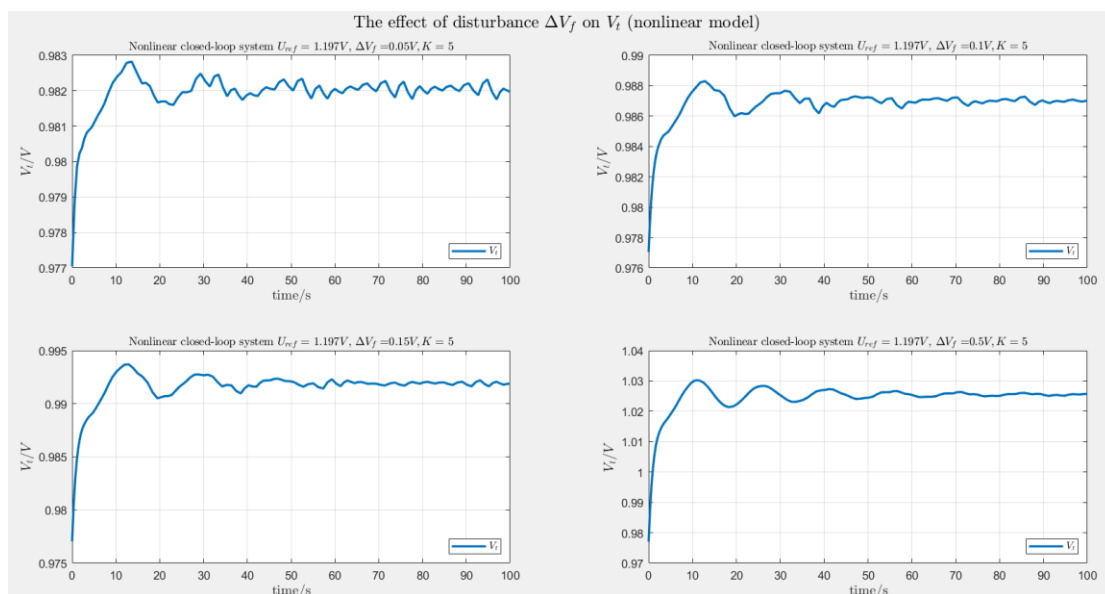
4. 抗干扰性分析：在励磁电压发生扰动条件下，分析不同扰动对机端电压 $V_t$  的影响，并基于非线性模型进行验证。

增加扰动电压 $V_{disturb}$ 。

线性系统的机端电压 $V_t$  如下：



非线性模型的机端电压 $V_t$  如下：



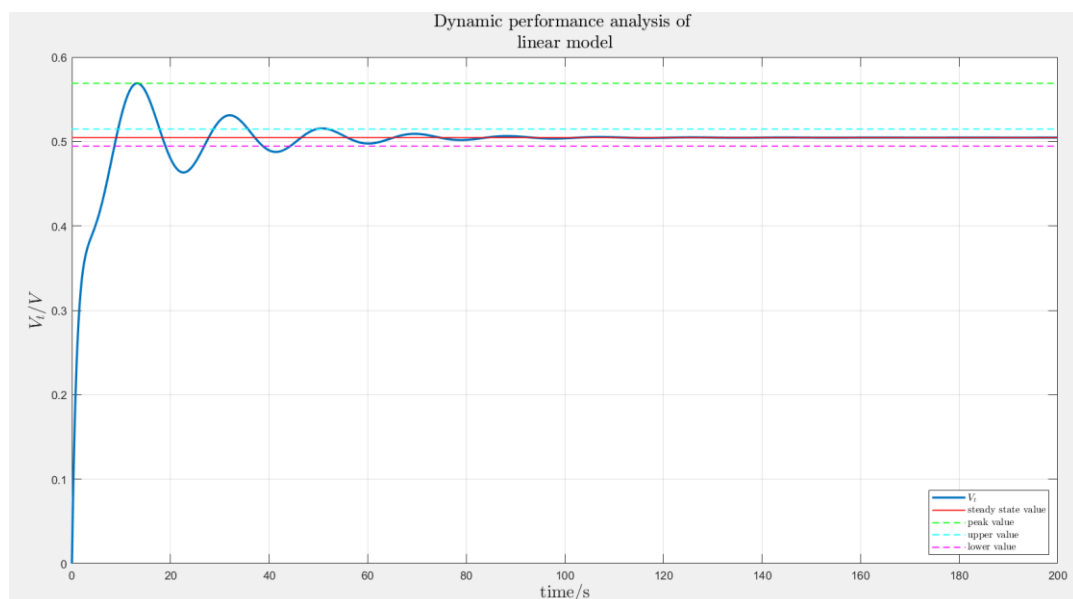
其实改变励磁电压的扰动和改变输入电压阶跃幅值的分析是一样的，因为如果把扰动电压也看成输入的话。二者的回路完全相同，前向通道只相差了一个比例增益  $K$ ，因此改变扰动可以看作改变输入阶跃幅值  $1/K$  的影响。

随着扰动电压的增大，机端电压  $V_t$  “超调量”变大，初始波动增大，稳定所需时间变长。

在线性系统中，扰动电压的不同对  $V_t$  到达峰值所需的时间影响不大，然而对于非线性系统，随着扰动电压的增大， $V_t$  到达峰值所需的时间逐渐变小。

5. 动态性能分析：计算 AVR 闭环系统的超调量、阻尼比和调整时间，与开环系统进行对比。

AVR 闭环系统的单位阶跃响应图像如下：



```
~~~~~> The overshoot of linear model is 12.756556 percent. <~~~~~
~~~~~> The damping factor of linear model is 0.548183. <~~~~~
~~~~~> The stable time of linear model is 51.900000. <~~~~~
```

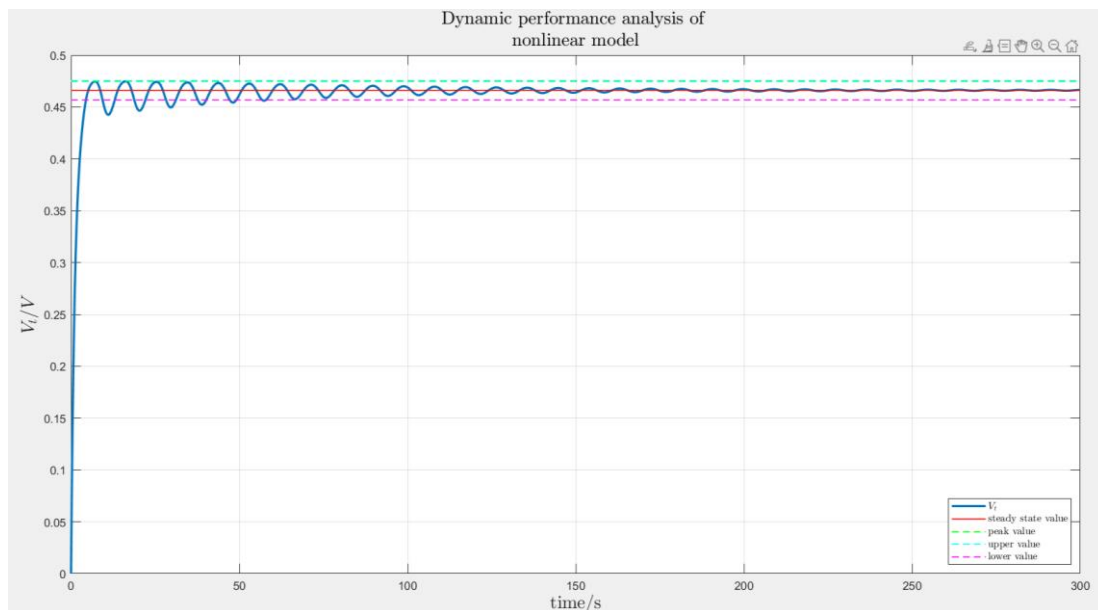
线性模型开环系统动态性能如下：

超调量 $\sigma\% = 9.94332\%$ ，阻尼比 $\zeta = 0.592105$ ，调整时间 $t_s = 34.8s$

线性模型闭环系统动态性能如下：

超调量 $\sigma\% = 12.756556\%$ ，阻尼比 $\zeta = 0.548183$ ，调整时间 $t_s = 51.9s$

线性模型增加 AVR 闭环系统之后，阶跃响应的超调量增加，调整时间增加，阻尼比下降，远离 0.707，系统的性能变差。



```
~~~~~> The overshoot of nonlinear model is 1.859877 percent. <~~~~~
~~~~~> The damping factor of nonlinear model is 0.785284. <~~~~~
~~~~~> The stable time of nonlinear model is 57.800000. <~~~~~
```

非线性模型开环系统动态性能如下：

超调量 $\sigma\% = 5.448295\%$ ，阻尼比 $\zeta = 0.679532$ ，调整时间 $t_s = 51.4s$

非线性模型闭环系统动态性能如下：

超调量 $\sigma\% = 1.859877\%$ ，阻尼比 $\zeta = 0.785284$ ，调整时间 $t_s = 57.8s$

非线性模型的闭环系统相较于开环系统，超调量减小，调整时间增加，阻尼比增加，性能发生了一些变化，具体好坏取决于系统的使用场景。

### c. 总结

综合开环系统和闭环系统的分析，从“稳、准、快”三个角度，对比开环系统和闭环系统的性能区别，并定性分析讨论放大增益  $K$  的变化对系统性能的影响。

#### 开环系统

优点：结构简单，比较经济；

缺点：无法消除干扰所带来的误差。

#### 闭环系统

优点：一般来说能改善系统的响应特性，但是本题设计的线性模型闭环系统

似乎并不能改善动态响应特性，反而使性能更差。抗干扰性的能力更强，因为可以通过负反馈进行调节。能够通过控制消除误差。

缺点：增加了系统的复杂性，增益选择不当的话使系统稳定性能下降。

|     |                  |                                        |       |
|-----|------------------|----------------------------------------|-------|
| “稳” | 稳定概念             | $\lim_{t \rightarrow \infty} k(t) = 0$ | 三类稳定性 |
|     | 稳定充要条件           |                                        |       |
|     | 稳定性判据            |                                        |       |
| “准” | 误差与稳态误差          |                                        |       |
|     | 计算稳态误差的一般方法      |                                        |       |
|     | 干扰、参数变化引起的稳态误差分析 |                                        |       |
| “快” | 动态性能描述指标         |                                        |       |
|     | 一阶、二阶系统动态响应      | 时域指标与频域性能的关系                           |       |
|     | 高阶系统动态响应与校正      |                                        |       |

编程时间：约 7 小时。

撰写报告时间：约 1.5 小时。

总结与反馈：之前运行完网络学堂给的示例代码后，发现示例代码跑出来的图比较规范。我之前的绘图有的缺少了一些图的标注，以及没有将一些变量用 latex 公式体现，这次的绘图我就模仿了示例代码进行操作，绘出的图好看了许多。

建议：如果有可能的话，助教能否对代码风格进行评价，供大家学习改进。